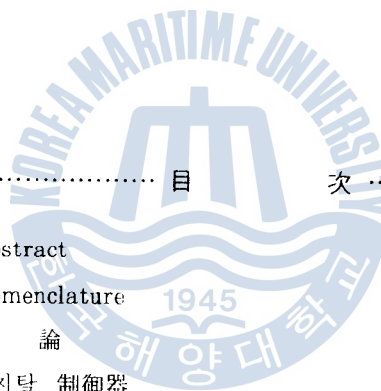


# 2次 系統에 있어서 디지탈 制御器의 最適 設計에 관한 研究

李 守 烈

A Study on the Optimal Design of the Digital  
Controller for the Second Order System

*Soo-yeol Lee*



## Abstract

## Nomenclature

- 1. 序論
- 2. 디지탈 制御器
  - 2. 1 디지탈 PID 制御器
  - 2. 2 테드비트型 制御器 및 미니멀프로토型 制御器
- 3. 디지탈 PID 制御器의 最適設計
  - 3. 1 評價函數
    - (1) 디지탈 PID 制御器
    - (2) DB型 制御器 및 MP型 制御器
  - 3. 2 디지탈 PID 制御器에 있어서 最適퍼래미터의 決定
- 4. 數值計算
- 5. 檢討 및 考察
  - 5. 1 制御器의 係數 및 評價函數에 대한 考察
  - 5. 2 인디셜 應答에 대한 考察
- 6. 結論
- 參考文獻

## 参考文献

- 1) Schuster S., Über den Einfluss des Propellers und die Längs- und Drehschwingungen in der Wellenleitung, Schiff und Hafen, Jahrgang 13, H. 6, S. 498, 1961.
- 2) Schwancke H., Gedanken zur Frage der hydrodynamischerregten Schwingungen des Propellers und Wellenleitung, STG Jahrbuch, B. 57, S. 252, 1963.
- 3) Ker Wilson W., Practical Solution of Torsional Vibration Problems, Vol. II, Chapman Hall, London, 1942.
- 4) BICERA, Handbook on Torsional Vibration, Cambridge Press, 1958.
- 5) Timoshenko S., Vibration Problems in Engineering, 4th Ed. John Wiley & Sons., 1974.
- 6) Den Hartog J. P., Mechanical Vibrations, 4th Ed., McGraw-Hill Book Co., 1956.
- 7) Francis S. Tse, Mechanical Vibrations, Theory and Applications, 2nd Ed., Allyn and Bacon, Inc., 1963.
- 8) Thomson W. T., Theory of Vibration with Application, 2nd Ed., Prentice-Hall, Inc., 1981.
- 9) Tuplin W. A., The torsional rigidity of crankshafts, Engineering, pp. 275, 1937/9.
- 10) H. Holzer, The Calculation of Torsional Vibrations, Berlin, 1922.
- 11) Carter B. C., An empirical formula for crankshaft stiffness in torsion, Engineering, 13 July 1928, pp. 36.
- 12) 日本船用機関學會軸系研究委員會, プロペラ翼とクランクの位相が軸系ねじり振動におよぼす影響, MESJ 研究委員會報告, No. 68. 1976/10.
- 13) 丸山浩一, ディーゼル機関のねじり振動, 1961, 日本東京, 山海堂.
- 14) 富山修, 内燃機関のねじり振動と疲れ強さ, 日本東京, コロナ社, 1965.
- 15) 越智重信, 猪原祥行, 最近の軸系ねじり振動におけるプロペラ減衰に関する考察, 日立造船技報, 第26卷 第3・4號, p. 75, 1965/11.
- 16) 小山陽一, 高須績, 高弾性接手採用ディーゼル機関のねじり振動特性の考察, 住友重機械技報 第22卷 66號, p. 31, 1974/12.
- 17) 全孝重, 津田公一, 船用往復内燃機関軸系縱ねじり連成自由振動の理論的解析, 日本船用機関學會誌 第4卷 7號, p. 401, 1969/9.
- 18) 全孝重, 船用往復内燃機関軸系縱ねじり連成強制振動の理論的解析, 日本船用機関學會誌 第5卷 3號, p. 217, 1970/3.
- 19) 全孝重, 機械力學, 釜山, 太和出版社, 1979.
- 20) 全孝重, 船用ディーゼル機関軸系의 減衰強制의 흑임振動解析에 관한 研究, 韓國船用機關學會誌 第4卷 2號, p. 4, 1980.
- 21) 高須績, 林潤一, 住友スルザー船用低速ディーゼル機関の振動, 内燃機關, Vol. 23, No. 300, p. 64, 1984/11.

## A Study on the Optimal Design of the Digital Controller for the Second Order System

Soo-Yeol Lee

Department of Marine Engineering, graduate school, Korea Maritime University.

### Abstract

Digital signal processing which is recently beginning to take shape is characterized by decentralization. Process microcomputers have found increasing application in individual instruments used for measurement and control. Digital controllers and user-programmable sequence control systems, based on the use of microprocessors, have been on the market since 1975.

The use of a digital computer as a controller of a system is particularly attractive, since the implementation of a control law requires only the preparation of a computer program. Digital controllers usually require an analog-digital converter at the input because of the wide use of analog sensors, transducers and signal transmission, and a digital-analog converter at the output to drive actuators designed for analog techniques. They are digital PID controller, deadbeat controller and minimal prototype controller, etc.

For these controllers, it is very important to choose values of the coefficients and sampling time because they affect very much on the control characteristics of the system.

The coefficients of the deadbeat controller and minimal prototype controller are decided at the moment of design.

But, for the PID controller, there is no settled method to decide the coefficients.

In this paper, the author uses the integral square error(ISE) criterion for deciding coefficients of the controllers, whose controlled object is described by a second-order system, and proposes a method to design the digital controller in a sense of minimizing it.

By the criterion of the indicial response, the digital PID controller, the deadbeat controllers and the minimal prototype controller are compared with each, and affection of coefficients of controllers and the change of sampling time on the performance criteria are also investigated.

As a result, it is known that the proposed method can be effectively used for the design of PID controller and the PID controller has more advantages than other controllers.

### Nomenclature

$G_p$	: transfer function of the controlled system
$K_c$	: gain of the controlled system
$L$	: time lag of the controlled system
$T_c$	: time constant of the controlled system
$G_{HO}$	: transfer function of the zero order holder
$T$	: sampling time
$R$	: signature of the transformed $r$
$r$	: input signal
$e$	: error signal
$D$	: transfer function of the digital controller
$C$	: output signal or response
$e_1$	: input signal of the digital controller
$e_2$	: output signal of the digital controller
$u$	: control vector or Input of the controlled system
$G$	: open loop transfer function
$\mathcal{X}$	: signature of the z-transform
$F$	: closed loop transfer function
$K_p$	: gain of the digital controller
$T_D$	: derivative time of the digital controller
$T_I$	: integration time of the digital controller
$E_1$	: signature of the transformed $e_1$
$\varepsilon_p$	: steady state error
$DB$	: an abbreviated word of dead beat
$MP$	: an abbreviated word of minimal prototype
$J$	: the estimated function
$\bar{X}$	: state vector
$J_p$	: an estimated function of the p-behavior
$U_o$	: unit step function
$J_{pd}$	: an estimated function of the PD-behavior
$J_{pi}$	: an estimated function of the PI-behavior
$J_{pid}$	: an estimated function of the PID-behavior
$J_{db}$	: an estimated function of the deadbeat Method
$J_{mp}$	: an estimated function of the minimal prototype manner
$P^T$	: transpose of the $P$ matrix
$\hat{K}_p$	: optimal value of the $K_p$
$\hat{J}_p$	: optimal value of the $J_p$
$\hat{T}_D$	: optimal value of the $T_D$
$\hat{J}_{pd}$	: optimal value of the $J_{pd}$
$M_p$	: peak value of the indicial response

## 1. 序論

最近 半導體 技術의 急激한 發展으로 小形이고 價格이 低廉한 마이크로프로세서와 데이타 貯藏裝置 등이 開發되어 產業施設에 있어서 計測과 制御 및 自動化에 마이크로컴퓨터를 많이 利用하게 되었다.

프로세스 自動化에 있어서 디지털 技法의 應用은 1960年頃에 처음으로 프로세스컴퓨터가 設備되면서 시작되었으며, 1970年頃부터 컴퓨터는 產業프로세스의 自動化를 위한 標準裝備가 되었고, 지난 10年 사이에 設置된 프로세스컴퓨터의 每年 增加率은 약 20~30% 있고, 하드웨어의 價格이 낮아지는 반면에 소프트웨어의 相對的인 價格은 增加하였다. 相對的인 高價로 인해 프로세스制御에 대한 디지털컴퓨터의 應用이 初期段階는 한 테이블의 프로세스컴퓨터로써 實行되는 多機能의 中央集中式으로 特徵지워 차며, 이러한 方式으로서는 가끔 中央컴퓨터의 故障과 過重한 計算負擔, 包括的이고 複雜한 소프트웨어의 必要性 등으로 디지털 信號處理의 많은 長點을 充分히 活用하지 못했다.

1971年에 大規模로 集積된 半導體 記憶裝置와 入出力裝置를 가진 最初의 마이크로프로세서가 低廉한 價格의 프로세스 마이크로컴퓨터로 組立된 것이 商品화되었다. 마이크로프로세서의 大量生產으로 하드웨어가 低廉化 된으로써 分散自動化 系統들에 이를 프로세스컴퓨터들이 많이 應用되었다.<sup>1)</sup>

最近의 디지털 信號處理의 樣相은 分散화로 特徵지워질 수 있고, 計測과 制御를 위해 프로세스 마이크로컴퓨터의 應用에 增加해 왔다. 마이크로프로세서의 利用에 基礎가 되는 디지털 制御器들과 프로그램式 사ienia스制御 系統들이 1975年頃부터 商品化 되면서 디지털컴퓨터의 使用은 制御論理의 遂行에 있어서 단지 컴퓨터 프로그램의 準備만이 要求되기 때문에 아주 關心을 끌고 있다.<sup>2)</sup>

디지털 制御器는 偏差사ienia스를 받아서 制御사ienia스를 出力시키는 裝置로써, 最近 디지털 系統의 解析的設計<sup>3)</sup>에 있어서 制御系統에 효과적으로 入力を 넣어주기 위해 많이 使用되고 있고, 보통 人力側에서 아나로그센스, 신호變換器 (transducer) 및 信號送信의 폭넓은 使用때문에 A/D 變換器로써 셀룰러를 必要로 하고, 出力側에서는 아나로그 技法으로 設計된 操作部를 驅動하기 위해 D/A 變換器로써 호울더 回路가 必要하다. 디지털 制御器로써는 PID制御器, 데드비트法으로 設計된 制御器<sup>4)</sup> 및 미니멀프로토타입法으로 設計된 制御器<sup>5)</sup> 등이 있으며, 이중 데드비트型 制御器와 미니멀프로토型 制御器의 各 係數들은 設計와 同時に 確定될 수 있지만, PID制御器는 確定된 係數의 決定法이 아직 없기 때문에 各 係數의 選定과 디지털 制御系統에서는 셀룰링 時間의 影響이 아주 크므로 이것에 대한 考慮가 매우 重要하다.

本研究에서는 2次系統을 制御對象으로 하는 파이드백 制御系統에 있어서 2乘制御面積을 評價函數로써 導入하고 이를 最小로 하는 意味에서의 디지털 制御器를 設計하는 方法을 提案하고 인터설 應答을 基準으로 PID制御器, 데드비트型 制御器 및 미니멀프로토型 制御器를 比較 檢討하기로 한다.

또한, 制御器 係數의 값과 셀룰링 時間의 變動이 制御特性에 미치는 影響에 대해서도 考察하고 提案된 設計法이 檢討한 結果值와 일치하며 制御器 係數값이 디지털 P, PD制御系 設計의 基礎資料가 된다.

## 2. 디지털 制御器

一般的으로 디지털制御器를 갖는 파이드백制御系統을 블록線圖로써 表示하면 Fig. 1과 같이 된다.

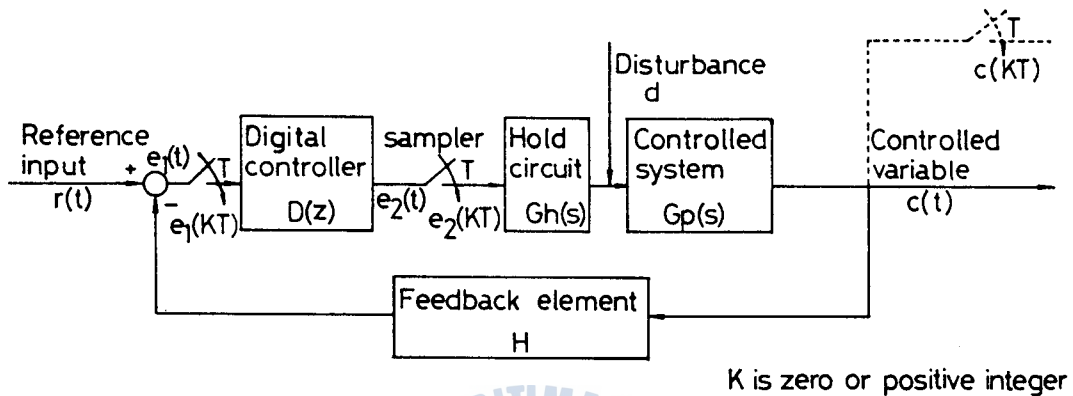


Fig.1 Block diagram of digital control system

여기서 制御對象으로는 一般的으로 式 (2.1) 과 같은 傳達函數를 갖는 경우가 많다.

$$G_P(S) = \frac{K_C \cdot e^{-LS}}{S^i (1 + T_C S)^{45}} \quad (2.1)$$

단  $K_C$  : 定常利得  $T_C$  : 時定數  $L$  : 遲延時間  $i$  : 常數

그러나, 本研究에서는  $L = 0$ ,  $i = 1$ 인 경우, 즉

$$G_P(S) = \frac{K_C}{S(1+T_C S)} \quad (2.1)'$$

으로 表示되는 制御對象을 갖는 경우에 대해서 檢討하기로 한다.

그리고, 호울더 回路로써는 零次 호울더<sup>4, 12)</sup>를 갖는 것으로 한다.

$$G_{H_0}(S) = \frac{1}{S} (1 - e^{-ST}) \quad (2.2)$$

단  $T$  : 샘플링 時間

다음에 入力으로는 式 (2.3) 과 같이 單位階段函數를 取하고

$$R(z) = (1 - z^{-1})^{-1} \quad (2.3)$$

두個의 샘플러는 서로 同期된 것으로 看做한다.

以上을 綜合하여 比特線圖를 作成하면 Fig. 2 와 같이 되고 이 系統의 閉回路 傳達函數은  $G(z)$  ,  
閉回路 傳達函數은  $F(z)$  라 하면 각각 다음과 같이 된다.<sup>1,3,5,9,14)</sup>

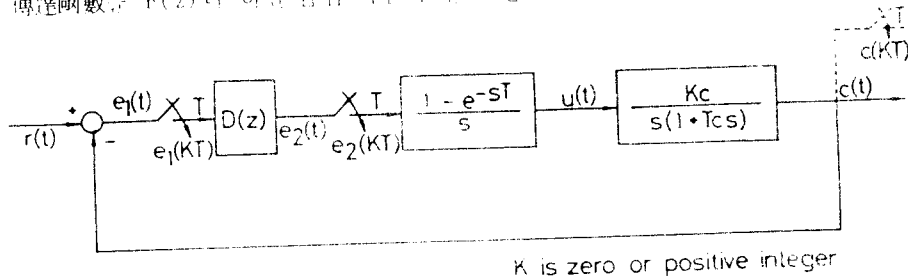


Fig. 2 Block diagram of the discrete 2nd order system

$$\begin{aligned}
 G(z) &= D(z) \mathcal{Z}\left\{\left(\frac{1-e^{-ST}}{s}\right)\left(\frac{K_c}{s(1+T_c s)}\right)\right\} \\
 &= D(z) \left(1-z^{-1}\right) \frac{i_K \left\{ \left[ T + T_c (e^{-\frac{T}{T_c}} - 1) \right] z^2 + \left\{ T_c - (T + T_c e^{-\frac{T}{T_c}}) \right\} z \right\}}{(z-1)^2 (z-e^{-\frac{T}{T_c}})} \quad (2.4)
 \end{aligned}$$

$$\begin{aligned}
 F(z) &= \frac{G(z)}{R(z)} = \frac{G(z)}{1+G(z)} \\
 &= \frac{D(z)(z-1)K_c \left\{ \left[ T + T_c (e^{-\frac{T}{T_c}} - 1) \right] z + \left\{ T_c - (T + T_c e^{-\frac{T}{T_c}}) \right\} \right\}}{(z-1)^2 (z-e^{-\frac{T}{T_c}}) + D(z)(z-1)K_c \left\{ \left[ T + T_c (e^{-\frac{T}{T_c}} - 1) \right] z + \left\{ T_c - (T + T_c e^{-\frac{T}{T_c}}) \right\} \right\}} \quad (2.5)
 \end{aligned}$$

## 2.1 디지털 PID 制御器

制御器의 傳達函數은

$$D(z) = \frac{K_p (\Lambda_1 z^2 + \Lambda_2 z + \Lambda_3)}{z(z-1)} \quad (2.6)$$

(1) P動作의 構成

$$\Lambda_1 = 1, \quad \Lambda_2 = -1, \quad \Lambda_3 = 0$$

ii) PD 動作의 경우

$$A_1 = \left(1 + \frac{T_D}{T}\right), \quad A_2 = -\left(1 + \frac{2T_D}{T}\right), \quad A_3 = \frac{T_D}{T}$$

iii) PI 動作의 경우

$$A_1 = \left(1 + \frac{T}{2T_I}\right), \quad A_2 = -\left(1 - \frac{T}{2T_I}\right), \quad A_3 = 0$$

iv) PID 動作의 경우

$$A_1 = \left(1 + \frac{T}{2T_I} + \frac{T_D}{T}\right), \quad A_2 = -\left(1 - \frac{T}{2T_I} + \frac{2T_D}{T}\right), \quad A_3 = \frac{T_D}{T}$$

단  $K_P$  : 比例感度  $T_I$  : 積分時間  $T_D$  : 微分時間  
으로 表示할 수 있다.<sup>3,4,6)</sup>

偏差의 傳達函數<sup>13)</sup>를  $E_I(z)$ 이라 두면, 式 (2.3), (2.5) 및 (2.6) 으로 부터

$$\begin{aligned} E_I(z) &= R(z) - C(z) = -\frac{1}{1+G(z)} R(z) \\ &= \frac{z(z-1)^2(z+B_3)}{z(z-1)^2(z+B_3) + K_P(A_1 z^2 + A_2 z + A_3) K_C(B_4 z + B_5)} R(z). \end{aligned}$$

여기서,  $A_1, A_2, A_3$  는 앞의 각각의 경우와 같으며,

$$B_3 = -e^{-\frac{T}{T_C}}, \quad B_4 = T + T_C(e^{-\frac{T}{T_C}} - 1), \quad B_5 = T_C - (T + T_C)e^{-\frac{T}{T_C}}$$

으로 表示되고, 單位階段入力에 대한 定常偏差 (off-set) 를  $\epsilon_P$  라 두면, 最終值 定理<sup>2)</sup>에서

$$\begin{aligned} \epsilon_P &= \lim_{z \rightarrow 1} (1 - z^{-1}) E_I(z) \\ &= 0 \end{aligned}$$

으로 된다.

## 2.2 데드비트型 制御器 및 미니멀프로토型 制御器

i) 데드비트 (Dead beat) 法에 의해 設計된 制御器를 DB型 制御器라 부르면, 系統의 應答이 最小의 셋틀링 (settling) 時間을 가지도록 하는 것으로 制御器의 傳達函數는

$$D(z) = \frac{1 - e^{-\frac{T}{T_C}} z^{-1}}{K_C [T(1 - e^{-\frac{T}{T_C}}) + \{T_C - (T + T_C)e^{-\frac{T}{T_C}}\} z^{-1}]} \dots \quad (2.7)$$

으로 表示할 수 있다. 偏差의 傳達函數는 式 (2.3), (2.5) 및 (2.7) 로부터

$$E_1(z) = \frac{K_C [T(1 - e^{-\frac{T}{T_C}})z + \{T_C - (T+T_C)e^{-\frac{T}{T_C}}\}(z-1)^2(z-e^{-\frac{T}{T_C}})]}{K_C [T(1 - e^{-\frac{T}{T_C}})z + \{T_C - (T+T_C)e^{-\frac{T}{T_C}}\}(z-1)^2(z-e^{-\frac{T}{T_C}}) + (z-e^{-\frac{T}{T_C}})(z-1)} \times \frac{R(z)}{K_C [\{T+T_C(e^{-\frac{T}{T_C}}-1)\}z + \{T_C - (T+T_C)e^{-\frac{T}{T_C}}\}]}$$

으로 表示된다.

單位階段入力에 대한 定常偏差  $\epsilon_P$  라 두면,

$$\begin{aligned}\epsilon_P &= \lim_{z \rightarrow 1} (1 - z^{-1}) E_1(z) \\ &= 0\end{aligned}$$

으로 된다.

(1) 미니멀프로토타입 (Minimal prototype) 法에 의해 設計된 制御器는 MP 型 制御器라는 데, 템플링과 同時에 出力과 入力의 級이一致하도록 하였을 것으로, 制御器의 傳達函數는

$$D(z) = \frac{1 - e^{-\frac{T}{T_C}} z^{-1}}{K_C [\{T+T_C(e^{-\frac{T}{T_C}}-1)\} + \{T_C - (T+T_C)e^{-\frac{T}{T_C}}\} z^{-1}]} \quad (2.8)$$

으로 表示할 수 있다. 偏差의 傳達函數는 式 (2.3), (2.5) 및 (2.8)로 부터

$$E_1(z) = 1$$

으로 表示된다. 單位階段入力에 대한 定常偏差  $\epsilon_P$  라 두면,

$$\epsilon_P = \lim_{z \rightarrow 1} (1 - z^{-1}) E_1(z) = 0$$

으로 된다.

그리고, 式 (2.7)과 (2.8)에서  $T \gg T_C$  の 때,

$$D(z) = \frac{1}{K_C (T + T_C z^{-1})}$$

로 表示할 수 있다.

### 3. 디지털 PID 制御器의 最適設計

### 3.1 評價函數

設定值의 變動을 單位階段函數로 보고 이에 따르는 制御偏差  $e_1$  的 2 乘面積을 評價函數 ( $J$ )로 하여 이를 最小로 하는 制御器의 最適퍼래미터를 時間 領域에서 구하기로 한다<sup>6,9,11,12)</sup>

$$J = \int_a^{\infty} \{ r(t) - c(t) \}^2 dt$$

$$= \int_0^\infty \{ e_1(t) \}^2 dt$$

여기서, DB法과 MP法의 評價函數는 制御對象의 時定數, 利得, 遲延時間이 주어지고, 샘플링時間이決定되면 쉽게 구할 수 있다.

그러나, PID制御器가 使用될 때 評價函數는 定해진 샘플링時間에서 制御器의 利得, 微分時間 및 積分時間은 調整해가면서 最小値를 찾아야 하므로 각 퍼래미터의 값을決定하는 것이 매우 重要하다.

Fig. 3은 제어시스템을 블록線圖로 나타낸 것이다.<sup>2)</sup>

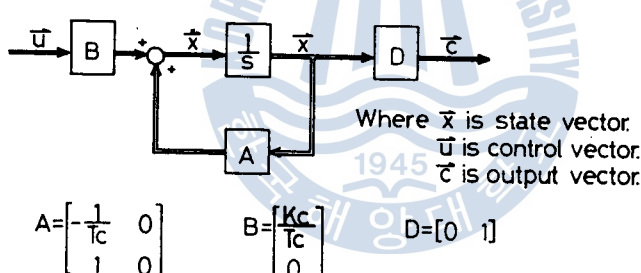


Fig.3 Block diagram of the controlled system

그럼으로 부터 線形 벡터 微分方程式을 表示하면<sup>10,14)</sup> 다음과 같다

$$\frac{d}{dt} \vec{X} = A\vec{X} + B\vec{U} \quad \left. \begin{array}{c} \\ \vec{C} = p\vec{X} \end{array} \right\} \dots \dots \dots \quad (2.9)$$

式(2.9)를 풀면

$$\widehat{\overline{X}}(KT+t) = e^{At} \widehat{\overline{X}}(KT) + \int_{KT}^{KT+t} e^{A(KT+\tau-t)} B e_2(KT) d\tau \quad \dots \quad (2.10)$$

만약  $0 \leq t \leq T < T$ ,  $K = 0, 1, 2, \dots$

$e_2(KT) : \hat{x}_2$  를 대입한路의 人力信號

式(2.10) 을 구하면

$$\begin{pmatrix} x_1(KT+t) \\ x_2(KT+t) \end{pmatrix} = \begin{pmatrix} e^{-\frac{t}{T_C}} & 0 \\ \frac{T}{T_C}(1-e^{-\frac{t}{T_C}}) & 1 \end{pmatrix} \begin{pmatrix} x_1(KT) \\ x_2(KT) \end{pmatrix} + K_C e_2(KT) \begin{pmatrix} 1 - e^{-\frac{T}{T_C}} \\ t - T_C(1 - e^{-\frac{T}{T_C}}) \end{pmatrix} \cdots (2.11)$$

만약  $0 \leq t \leq T$ ,  $K = 0, 1, 2, \dots$ ,  $x_1 = \hat{C}$ ,  $x_2 = C$ ,  $K < 0$ ;  $e_2(KT) = 0$

으로 나타내어 진다.

그리므로, 評價函數는

$$\begin{aligned} J &= \sum_{k=0}^{\infty} \int_0^T \left\{ 1 + x_2(KT+t) \right\}^2 dt \\ &= \sum_{k=0}^{\infty} \int_0^T \left\{ 1 + C(KT+t) \right\}^2 dt \cdots \cdots \cdots (2.12) \end{aligned}$$

만약  $0 \leq t \leq T$

으로 表示 된다.

式(2.11) 에서,  $t = [T]_k$  때

$$x_1(k) = \frac{x_1(K+1) - x_2(K) + K_C e_2(K) \left\{ T + T_C \left( e^{-\frac{T}{T_C}} - 1 \right) \right\}^{**}}{T_C \left( 1 - e^{-\frac{T}{T_C}} \right)}$$

으로 表示 되므로 應答 및 應答의 速度方程式은 式(2.13)과 같아 진다.

$$C(KT+t) = x_2(KT+t)$$

$$\begin{aligned} &= \frac{1 - e^{-\frac{T}{T_C}}}{1 - e^{-\frac{T}{T_C}}} \left[ x_2(K+1) - x_2(K) - K_C e_2(K) \left\{ T + T_C \left( 1 - e^{-\frac{T}{T_C}} \right) \right\} \right] \uparrow \\ &\quad + x_2(K) + K_C e_2(K) \left\{ t - T_C \left( 1 - e^{-\frac{T}{T_C}} \right) \right\} \downarrow \cdots (2.13) \end{aligned}$$

$$\dot{C}(KT+t) = x_1(KT+t)$$

\*\*)  $C(K)$ ,  $x_2(K)$ ,  $e_2(K)$ ,  $r(K)$ 은 각각  $C(KT)$ ,  $x_2(KT)$ ,  $e_2(KT)$ ,  $r(KT)$ 을 나타낸다. 以後에는  $T$ 를 省略하기로 한다.

$$= \frac{e^{-\frac{T}{T_C}}}{T_C(1-e^{-\frac{T}{T_C}})} [x_2(K+1) - x_2(K) - K_C e_2(K) \{ T - T_C (1 - e^{-\frac{T}{T_C}}) \}] \\ + K_C e_2(K) (1 - e^{-\frac{T}{T_C}})$$

단  $0 \leq t < T$ ,  $K = 0, 1, 2, \dots$ ,  $K < 0$ ;  $e_2(K) = 0$   
으로 나타내어 진다.

### (1) 디지털 PID 제어기

系統의 出力條件으로  $\dot{C}(0) = C(0) = 0$

$$\dot{C}(K) = x_1(K), C(K) = x_2(K) \quad (K=1, 2, 3, \dots)$$

과 같이 되며, 호울더 回路의 入力  $e_2(K)$ 는 다음 式으로 計算된다.

$$e_2(K) + \{B_1 + Q_1\} e_2(K-1) + \{B_2 + Q_2\} e_2(K-2) + \{B_3 + Q_3\} e_2(K-3) + Q_4 e_2(K-4) \\ = P_1 r(K) + P_2 r(K-1) + P_3 r(K-2) + P_4 r(K-3) + P_5 r(K-4) \quad \dots \quad (2.14)$$

단  $K = 0, 1, 2, \dots$

여기서,  $A_1, A_2, A_3$ 는 앞에서 表示한 것과 같이 P, PD, PI, PID의 각 경우에 해당되며,

$$A_4 = -(1 + e^{-\frac{T}{T_C}}), \quad A_5 = e^{-\frac{T}{T_C}} \\ B_1 = -(e^{-\frac{T}{T_C}} + 2), \quad B_2 = 2e^{-\frac{T}{T_C}} + 1$$

이고,  $B_3, B_4, B_5$ 도 마찬가지로 앞에서와 같다.

그리고,

$$P_1 = K_P A_1, \quad P_2 = K_P (A_1 A_4 + A_2), \quad P_3 = K_P (A_1 A_5 + A_2 A_4 + A_3), \\ P_4 = K_P (A_2 A_5 + A_3 A_4), \quad P_5 = K_P A_3 A_5, \\ Q_1 = K_P K_C A_1 B_4, \quad Q_2 = K_P K_C (A_1 B_5 + A_2 B_4), \\ Q_3 = K_P K_C (A_2 B_5 + A_3 B_4), \quad Q_4 = K_P K_C A_3 A_5$$

로 表示되며, P 制御일 때 評價函數는

$$J_P(T, K_P) = \sum_{k=0}^{\infty} \int_0^T \{e_1(KT+t, K_P)\}^2 dt \quad (0 \leq t < T) \quad \dots \quad (2.15)$$

단  $e_1(KT+t, K_P) = r(KT+t) - C(KT+t, K_P) \quad (0 \leq t < T, K=0, 1, 2, \dots)$

$r(KT+t) = U_0(t)$  : Unit step function.

으로 表示되고, PD 制御일 때는

$$J_{PD}(T, K_P, T_D) = \sum_{k=0}^{\infty} \int_0^T \{e_1(KT+t, K_P, T_D)\}^2 dt \quad (0 \leq t < T) \quad \dots \quad (2.16)$$

$$\text{단 } e_1(KT+t, K_p, T_D) = r(KT+t) - C(KT+t, K_p, T_D) \quad (0 \leq t < T, K=0,1,2, \dots)$$

으로 表示되고, PI 制御일 때는

$$J_{Pi}(T, K_p, T_I) = \sum_{k=0}^{\infty} \int_0^T \{e_1(KT+t, K_p, T_I)\}^2 dt \quad (0 \leq t < T) \quad \dots \dots \dots \quad (2.17)$$

$$\text{단 } e_1(KT+t, K_p, T_I) = r(KT+t) - C(KT+t, K_p, T_I) \quad (0 \leq t < T, K=0,1,2, \dots)$$

으로 表示되고, PID 制御일 때는

$$J_{PId}(T, K_p, T_I, T_D) = \sum_{k=0}^{\infty} \int_0^T \{e_1(KT+t, K_p, T_I, T_D)\}^2 dt \quad \dots \dots \dots \quad (2.18)$$

$$(0 \leq t < T)$$

$$\text{단 } e_1(KT+t, K_p, T_I, T_D) = r(KT+t) - C(KT+t, K_p, T_I, T_D) \quad (0 \leq t < T, K=0,1,2, \dots)$$

으로 表示된다.

## (2) DB 型 制御器 및 MP 型 制御器

### i) DB 型 制御器

系統의 出力條件으로  $\dot{C}(0) = C(0) = 0$

$$\dot{C}(K) = x_1(K) = 0, C(K) = x_2(K) = 1 \quad (K \geq 2)$$

과 같이 되며,  $e_2(K)$ 는 다음 式으로 計算된다.

$$\left( \begin{array}{c} e_2(0) \\ e_2(1) \end{array} \right) = \frac{1}{K_C T (e^{\frac{T}{K_C}} - 1)} \left( \begin{array}{c} -d_1 \\ e^{\frac{-T}{K_C}} \end{array} \right) \quad \dots \dots \dots \quad (2.19)$$

이 경우의 評價函數는

$$J_{db}(T) = \sum_{k=0}^{\infty} \int_0^T \{e_1(KT+t)\}^2 dt \quad (0 \leq t < T) \quad \dots \dots \dots \quad (2.20)$$

$$\text{단 } e_1(KT+t) = r(KT+t) - C(KT+t) \quad (0 \leq t < T, K=0,1), r(KT+t) = U_o(t)$$

으로 表示된다.

### ii) MP 型 制御器

系統의 出力條件으로  $\dot{C}(0) = C(0) = 0$

$$\dot{C}(K) = x_1(K), C(K) = x_2(K) = 1 \quad (K=1,2,3, \dots)$$

과 같이 되며,  $e_2(K)$ 는 다음 式으로 計算된다.

$$A_1 e_2(K) + A_2 e_2(K-1) = B_1 r(K) + B_2 r(K-1) + B_3 r(K-2) \quad \dots \dots \dots \quad (2.21)$$

$$(K=0,1,2, \dots)$$

$$\text{단 } A_1 = K_C \left\{ T + T_C \left( e^{-\frac{T}{T_C}} - 1 \right) \right\}, \quad A_2 = K_C \left\{ T_C - (T + T_C) e^{-\frac{T}{T_C}} \right\},$$

$$B_1 = 1, \quad B_2 = -(1 + e^{-\frac{T}{T_C}}), \quad B_3 = e^{-\frac{T}{T_C}}$$

로 表示되고, 이 경우의 評價函數는

$$J_{mp}(T) = \sum_{k=0}^{\infty} \int_0^T \left\{ e_k(KT+t) \right\}^2 dt \quad (0 \leq t < T) \quad \dots \dots \dots \quad (2.22)$$

$$\text{단 } e_k(KT+t) = r(KT+t) - C(KT+t) \quad (0 \leq t < T, \quad k=0,1,2, \dots)$$

$$r(KT+t) = U_o(t)$$

로 表示된다.

### 3.2 디지털 PID制御器에 있어서 最適퍼래미터의 決定

PID制御器의 最適퍼래미터는 式 (2.9), (2.12) 및 (2.13)의 拘束條件下에서 다음 式의 解를 구함으로써 얻을 수 있다.<sup>11)</sup>

P制御의 경우

$$\frac{dJ_P}{dP} = \begin{pmatrix} \frac{\partial J_P}{\partial T} \\ \frac{\partial J_P}{\partial K_P} \end{pmatrix} = \begin{pmatrix} 0 \\ 0 \end{pmatrix}$$

$$\frac{d^2 J_P}{dP^2} = \begin{pmatrix} \frac{\partial^2 J_P}{\partial T^2} & \frac{\partial^2 J_P}{\partial T \partial K_P} \\ \frac{\partial^2 J_P}{\partial K_P \partial T} & \frac{\partial^2 J_P}{\partial K_P^2} \end{pmatrix} \quad ; \text{ 正定 (positive definite)}$$

$$\text{단 } P^T = (T, K_P)$$

PD制御의 경우

$$\frac{dJ_{pd}}{dP} = \begin{pmatrix} \frac{\partial J_{pd}}{\partial T} \\ \frac{\partial J_{pd}}{\partial K_p} \\ \frac{\partial J_{pd}}{\partial T_D} \end{pmatrix} = \begin{pmatrix} 0 \\ 0 \\ 0 \end{pmatrix}$$

$$\frac{d^2 J_{pd}}{dP^2} = \begin{pmatrix} \frac{\partial^2 J_{pd}}{\partial T^2} & \frac{\partial^2 J_{pd}}{\partial T \partial K_p} & \frac{\partial^2 J_{pd}}{\partial T \partial T_D} \\ \frac{\partial^2 J_{pd}}{\partial K_p \partial T} & \frac{\partial^2 J_{pd}}{\partial K_p^2} & \frac{\partial^2 J_{pd}}{\partial K_p \partial T_D} \\ \frac{\partial^2 J_{pd}}{\partial T_D \partial T} & \frac{\partial^2 J_{pd}}{\partial T_D \partial K_p} & \frac{\partial^2 J_{pd}}{\partial T_D^2} \end{pmatrix} : \text{正定 (positive definite)}$$

이 때  $P^T = (T, K_p, T_D)$

P I 制御의 경우

$$\frac{d J_{pi}}{d P} = \begin{pmatrix} \frac{\partial J_{pi}}{\partial T} \\ \frac{\partial J_{pi}}{\partial K_p} \\ \frac{\partial J_{pi}}{\partial T_I} \end{pmatrix} = \begin{pmatrix} 0 \\ 0 \\ 0 \end{pmatrix}$$

$$\frac{d^2 J_{pi}}{d P^2} = \begin{pmatrix} \frac{\partial^2 J_{pi}}{\partial T^2} & \frac{\partial^2 J_{pi}}{\partial T \partial K_p} & \frac{\partial^2 J_{pi}}{\partial T \partial T_I} \\ \frac{\partial^2 J_{pi}}{\partial K_p \partial T} & \frac{\partial^2 J_{pi}}{\partial K_p^2} & \frac{\partial^2 J_{pi}}{\partial K_p \partial T_I} \\ \frac{\partial^2 J_{pi}}{\partial T_I \partial T} & \frac{\partial^2 J_{pi}}{\partial T_I \partial K_p} & \frac{\partial^2 J_{pi}}{\partial T_I^2} \end{pmatrix} : \text{正定 (positive definite)}$$

이 때  $P^T = (T, K_p, T_I)$

P ID 制御의 경우

$$\frac{\partial J_{pid}}{\partial P} = \begin{pmatrix} \frac{\partial J_{pid}}{\partial T} \\ \frac{\partial J_{pid}}{\partial K_p} \\ \frac{\partial J_{pid}}{\partial T_I} \\ \frac{\partial J_{pid}}{\partial T_D} \end{pmatrix} = \begin{pmatrix} 0 \\ 0 \\ 0 \\ 0 \end{pmatrix}$$

$$\frac{\partial^2 J_{pid}}{\partial P^2} = \begin{pmatrix} \frac{\partial^2 J_{pid}}{\partial T^2} & \frac{\partial^2 J_{pid}}{\partial T \partial K_p} & \frac{\partial^2 J_{pid}}{\partial T \partial T_I} & \frac{\partial^2 J_{pid}}{\partial T \partial T_D} \\ \frac{\partial^2 J_{pid}}{\partial K_p \partial T} & \frac{\partial^2 J_{pid}}{\partial K_p^2} & \frac{\partial^2 J_{pid}}{\partial K_p \partial T_I} & \frac{\partial^2 J_{pid}}{\partial K_p \partial T_D} \end{pmatrix} : \text{正定 (positive definite)}$$

$$\begin{pmatrix} \frac{\partial^2 J_{pid}}{\partial T_I \partial T} & \frac{\partial^2 J_{pid}}{\partial T_I \partial K_P} & \frac{\partial^2 J_{pid}}{\partial T_I^2} & \frac{\partial^2 J_{pid}}{\partial T_I \partial T_D} \\ \frac{\partial^2 J_{pid}}{\partial T_D \partial T} & \frac{\partial^2 J_{pid}}{\partial T_D \partial K_P} & \frac{\partial^2 J_{pid}}{\partial T_D \partial T_I} & \frac{\partial^2 J_{pid}}{\partial T_D^2} \end{pmatrix}$$

단  $P^T = (T, K_P, T_I, T_D)$

그러나, 이들 式에서 最適퍼래미터를 理論的으로 求하기는 매우 困難하므로, 本 研究에서는 DB型 制御器, MP型 制御器의 評價函數 計算과 아울러서 컴퓨터에 의한 數值計算으로 구하기로 한다.



## 4. 數 值 計 算

우선 여기서는 P制御器, PI制御器 및 네드비트型制御器, 미니멀프로토型制御器를 制御器로 使用하였을 경우 Fig. 2의 피아드맵 制御系統에 대한 인디셜 應答(式 2.13, 2.14, 2.19, 2.21)과 評價函數(式 2.15~2.18, 2.20, 2.22)의 值을 샘플링 時間 T의 여러 值에 대해서 數值計算으로 計算해 보기로 한다.

또한, P 및 PD制御器에 있어서는 式 (2.15), (2.16)으로 計算되는 評價函數를 最小로 하는 比例感度  $K_p$  와 微分時間  $T_d$ 의 最適值, 즉  $\hat{K}_p$  와  $\hat{T}_d$ 의 值도 計算해 보기로 한다.

이 數值計算에 있어서 積分計算은 가우스(gauss) 積分法<sup>7,8)</sup>을 利用하였고, 샘플링 數는 偏差應答의 收斂領域으로 생각되는 128週期까지 計算하였다.<sup>6)</sup>

그리고, 制御對象의 定常利得과 時定數를 1로 하였다.

이 數值計算에 있어서 各 評價函數 또는 制御器의 定數値을 求하는 式들은 各各 다음과 같다.

### (1) P制御器

$$D(z) = K_p$$

$$J_p(T, K_p) = \sum_{k=0}^{128} \int_0^T \{e_1(KT+t, K_p)\}^2 dt \quad (0 \leq t < T)$$

### (2) PD制御器

$$D(z) = \frac{K_p \left\{ \left( 1 + \frac{T_d}{T} \right) z^2 - \left( 1 + \frac{2T_d}{T} \right) z + \frac{T_d}{T} \right\}}{z(z-1)}$$

$$J_{pd}(T, K_p, T_d) = \sum_{k=0}^{128} \int_0^T \{e_1(KT+t, K_p, T_d)\}^2 dt \quad (0 \leq t < T)$$

### (3) DB型制御器

$$D(z) = \frac{1 + P'_o z^{-1}}{Q'_1 + Q'_2 z^{-1}}$$

$$\text{단 } P'_o = -e^{-\frac{T}{T_c}}, Q'_o = K_c \left\{ T \left( 1 - e^{-\frac{T}{T_c}} \right) \right\}, Q'_1 = K_c \left\{ T_c - (T + T_c) e^{-\frac{T}{T_c}} \right\}$$

$$J_{db}(T) = \sum_{k=0}^{128} \int_0^T \{e_1(KT+t)\}^2 dt \quad (0 \leq t < T)$$

### (4) MP型制御器

$$D(z) = \frac{1 + P'_o z^{-1}}{Q'_o + Q'_1 z^{-1}}$$

$$\text{단 } P'_o = -e^{-\frac{T}{T_c}}, \quad Q'_o = K_c \left\{ T + T_c (e^{-\frac{T}{T_c}} - 1) \right\}, \quad Q'_1 = K_c \left\{ T_c - (T_c - (T + T_c)) e^{-\frac{T}{T_c}} \right\}$$

$$J_{mp}(T) = \sum_{k=0}^{128} \int_0^T \{e_1(KT+t)\}^2 dt \quad (0 \leq t < T)$$

表 1 은 P 制御器를 使用하는 경우에 있어서  $K_p$  및  $J_p$  的 最適值  $\hat{K}_p$  와  $\hat{J}_p$  를  $T = 0.01, 0.1, 0.5, 1, 2, 4, 8, 16, 100$  으로 變化시키면서 計算한 값이며, 表 2 는 PD 制御器를 使用할 때  $K_p$ ,  $T_d$  및  $J_{pd}$  的 最適值  $\hat{K}_p$ ,  $\hat{T}_d$  와  $\hat{J}_{pd}$  를 P 制御器의 경우와 같이 구한 값이며, 表 3 과 表 4 는 DB 型 및 MP 型 制御器의 係數  $P'_o$ ,  $Q'_o$  및  $Q'_1$  的 값과  $J_{db}$  및  $J_{mp}$  的 값을 計算한 것이다.

그리고, Fig. 4 는 이들 4 가지 制御器를 使用했을 때의 評價函數 값을 나타낸 것이다.

Table 1. The optimal values of the P-behavior controller

T	0.01	0.1	0.5	1	2	4	8	16	100
$\hat{K}_p$	15.970	3.505	1.315	0.811	0.496	0.299	0.160	0.081	0.013
$\hat{J}_p$	0.369	0.727	1.031	1.279	1.654	2.235	3.341	5.624	29.867

Table 2. The optimal values of the PD-behavior controller

T	0.01	0.1	0.5	1	2	4	8	16	100
$\hat{K}_p$	1.012	7.800	0.841	0.654	0.468	0.145	0.143	0.078	$0.115 \times 10^{-1}$
$\hat{T}_d$	74.000	1.300	2.300	1.700	1.248	5.668	1.220	0.265	9.620
$\hat{J}_{pd}$	$0.982 \times 10^{-2}$	0.110	0.433	0.716	1.186	2.280	3.134	5.588	30.431

Table 3. Value of parameters and the estimated function  
for a controller of the dead beat method

T	0.01	0.1	0.5	1	2	4	8	16	100
P̄₀	-0.990	-0.905	-0.607	-0.368	-0.135	-0.183 $\times 10^{-1}$	-0.335 $\times 10^{-3}$	-0.113 $\times 10^{-6}$	-0.372 $\times 10^{-43}$
Q̄₀	$0.995 \times 10^{-4}$	$0.952 \times 10^{-2}$	0.197	0.632	1.729	3.927	7.997	16.000	100.000
Q̄₁	$0.501 \times 10^{-4}$	$0.468 \times 10^{-2}$	$0.902 \times 10^{-1}$	0.264	0.594	0.908	0.997	0.999	1.000
Jdb	$0.759 \times 10^{-2}$	$0.758 \times 10^{-1}$	0.363	0.688	1.242	2.115	3.556	6.275	34.323

Table 4. Value of parameters and the estimated function  
for a controller of the minimal prototype manner

T	0.1	0.5	1	2	4	8	16	100
P̄₀	-0.905	-0.607	-0.368	-0.135	-0.183 $\times 10^{-1}$	-0.335 $\times 10^{-3}$	-0.113 $\times 10^{-6}$	-0.372 $\times 10^{-43}$
Q̄₀	$0.484 \times 10^{-2}$	0.107	0.368	1.135	3.018	7.000	15.000	99.000
Q̄₁	$0.468 \times 10^{-2}$	$0.902 \times 10^{-1}$	0.264	0.594	0.908	0.997	0.999	1.000
Jmp	0.246	0.429	0.648	1.064	1.832	3.246	5.957	33.993

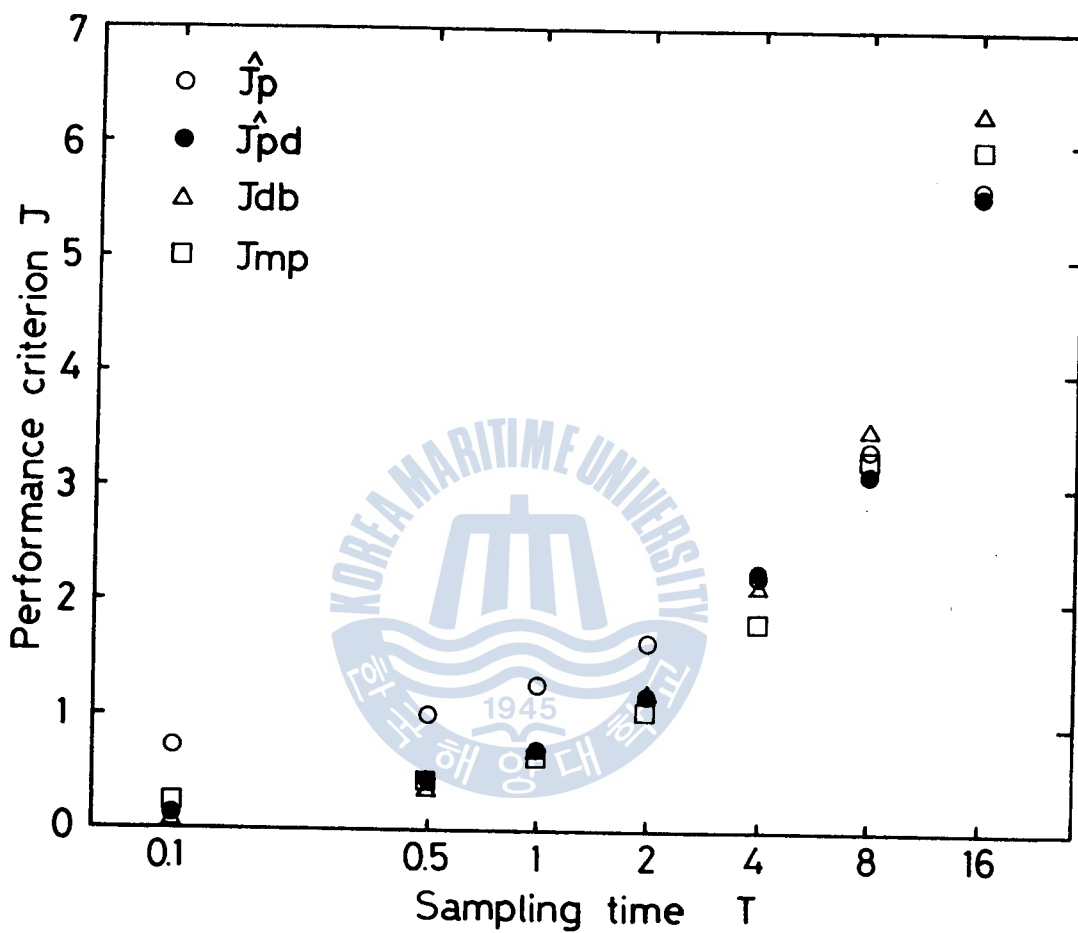


Fig.4 Sampling time versus performance criterion

## 5. 檢討 및 考察

### 5.1 制御器의 係數 및 評價函數에 대한 考察

#### (1) P 및 PD制御器

表1과 表2로부터 P制御器에서는 定常利得  $K_p$ 의 値은 샘플링 時間이 커짐에 따라 작아지는 것을 보이고 있는 反面에 PD制御器에서는 그렇지 못한 것을 보이고 있다.

그러나, 評價函數는 두가지 모두 샘플링 時間이 커짐에 따라 커지는 것을 나타내고 있으나, P制御器에서는 DB型制御器에서처럼 샘플링 時間이 작아짐에 따라서 評價函數의 値이 원자리 카야지하는 않는 것을 나타내고 있다. PD制御의 評價函數는 全 샘플링 時間에 대해서 다른 方法들의 評價函數와 比較해 볼때 좋은 特性을 가짐을 알 수 있다.

P制御에서 샘플링 時間이 거의 2 以下에서는 時間의 增加分에 대한 評價函數의 變動率을 減少되나, 2 以上에서는 評價函數의 變動率이 거의 不定함을 보이고 있고, P制御에서 샘플링 時間이 0.01 未滿에서 심한 振動을 나타내었다.

#### (2) DB型制御器 및 MP型制御器

이들 두 制御에서 制御器의 傳達函數의 形態와 係數  $Q'_0$ 項을 除外하고는 모두 一致한다.

評價函數의 面에서 샘플링 時間 0.5 를 境界로 하여 以下에서는 DB型制御器가 MP型制御器보다 確實히 良好한 것으로 나타나고 있다.

그 以上에서는 그다지 差異가 두렵하지 않으나, DB型에서 샘플링 時間 0.01 未滿에서, MP型은 0.1 未滿에서 심한 振動으로 인하여 必要 以上的 評價函數 値을 가지므로 無用한 것으로 判断되었다.

이들 두 制御器 모두 샘플링 時間이 작아짐으로써  $P'_0$ 項은 -1에 接近하고, 그 짐에 따라  $P'_1$ 項은 0에 接近함을 보이고 있으며,  $Q'_0$ 項은 샘플링 時間에 收斂되는 것을 보이고 있고,  $Q'_1$ 項은 1에 接近하고 있음을 表3, 表4로부터 볼 수 있다.

즉, 샘플링 時間이 거의 4 以上이 되면, 이들 두 型의 制御器는 모두 다음 式과 같이 表現될 수 있다.

$$D(z) = \frac{1}{1+z^{-1}} \quad \dots \dots \dots \quad (5.1)$$

### 5.2 인디설 應答에 대한 考察

#### (1) P 및 PD制御器

表5는 P制御의 샘플링 時間, 應答의 最大值와 그때의 샘플링 數를 나타낸 것으로 샘플링 時間이 커짐에 따라 오비슈트가 減少하고, 또한 샘플링 數가 커지는 것으로 되나, 應答의 最大值에는 反

比例的이다.

表6은 PD制御의 샘플링 時間, 應答의 最大值와 그때의 샘플링 數를 나타낸 것으로 샘플링 時間이 커짐에 따라 샘플링 數는 줄어드는 것을 보이고 있다. 또한 오버슈트는 거의 一定하게 나타나고 있다.

#### (2) DB型 制御器 및 MP型 制御器

表7은 DB型 制御器의 샘플링 時間과 初期 샘플링에서의 應答關係를 나타낸 것으로 샘플링 時間이 커짐에 따라 應答이 1에 接近함을 볼 수 있고, 샘플링 時間이 작아짐으로써 0.5에 接近함을 볼 수 있다.

表8은 MP型 制御器의 샘플링 時間과 應答의 最大值를 나타낸 것으로 샘플링 時間이 커짐에 따라 오버슈트가 減少하고, 샘플링 數에 比例하여 目標值에 收斂함을 보이고 있다.



Table 5. Sampling time, peak value of indicial response and sampling number in P-controller

T	0.01	0.1	0.5	1	2	4	8	16	100
M <sub>p</sub>	1.658	1.478	1.388	1.343	1.307	1.284	1.273	1.266	1.257
K	78	18	5.9	3.9	2.7	2.1	1.4	1.1	1

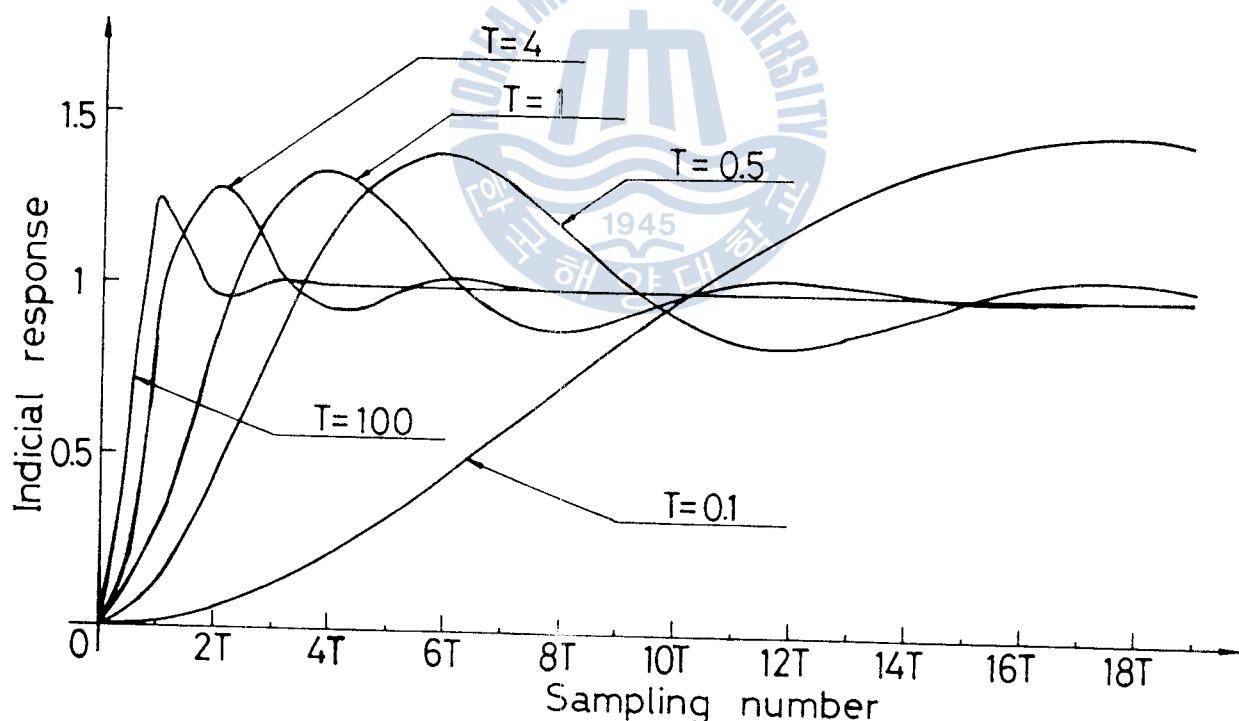


Fig.5 Indicial response according to the change of sampling time in P-controller

Table 6. Sampling time, peak value of indicial response and sampling number in PD-controller

T	0.01	0.1	0.5	1	2	4	8	16	100
M <sub>p</sub>	1.204	1.409	1.122	1.180	1.237	1.191	1.247	1.240	1.248
K	3	2.6	2.4	2.1	1.8	1.2	1.2	1.1	1

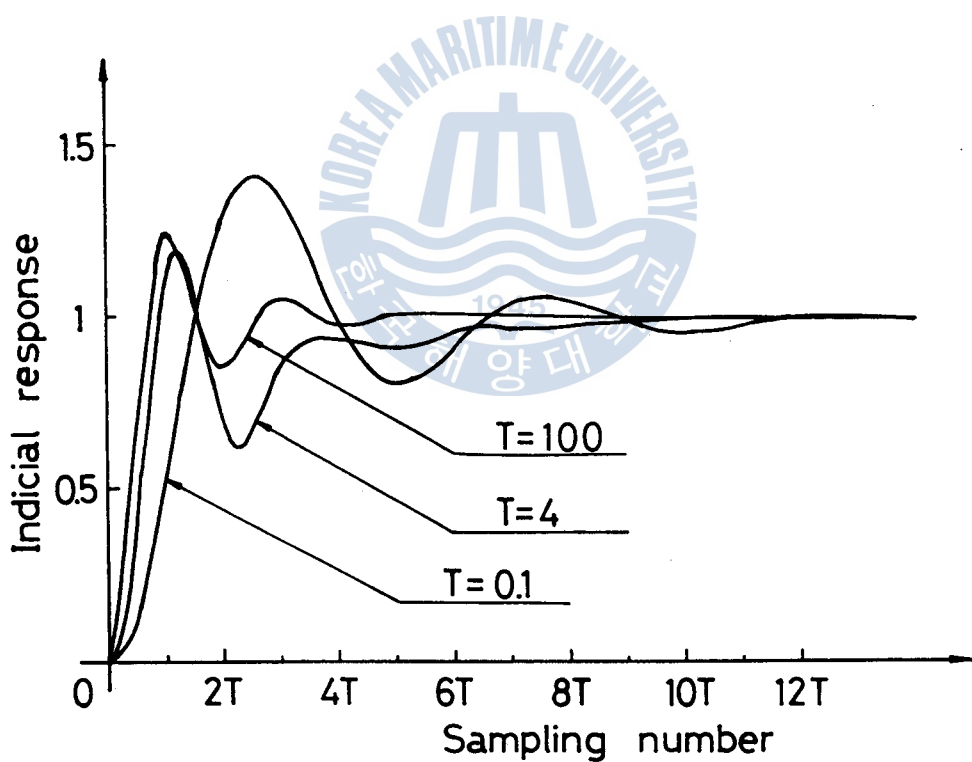


Fig.6 Indicial response according to the change of sampling time in PD-controller

Table 7. Indicial response of the first sampling time  
in the dead beat method's controller

T	0.01	0.1	0.5	1	2	4	8	16	100
C(T)	0.504	0.508	0.541	0.582	0.657	0.769	0.875	0.938	0.990

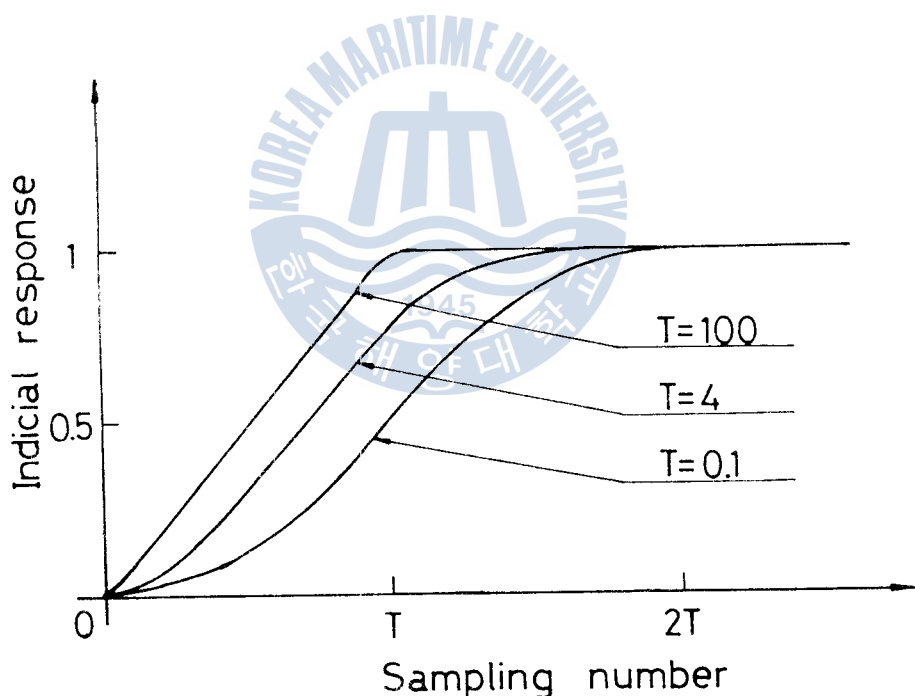


Fig.7 Indicial response according to the change  
of sampling time in the dead beat method's  
controller

Table 8. Sampling time and peak value of indicial response in the minimal prototype manner's controller

T	0.1	0.5	1	2	4	8	16	100
M <sub>p</sub>	1.484	1.424	1.362	1.275	1.175	1.100	1.054	1.009

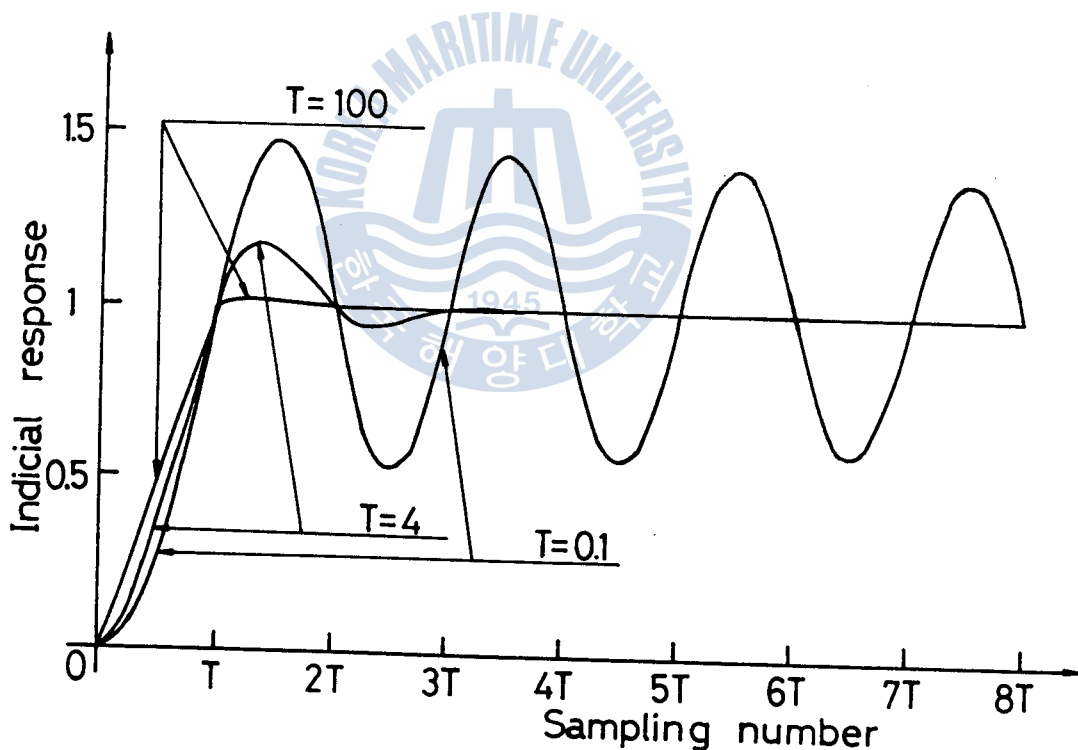


Fig. 8 Indicial response according to the change of sampling time in the minimal prototype manner's controller

## 6. 結 論

以上과 같이 2 次系統을 制御對象으로 하는 디지털 파이드백 制御系統에 있어서 P 및 PI制御, 대도비트法, 그리고 미나멜프로토임法을 利用하여 偏差自乘積分을 評價函數로 定義하고, P 및 PD制御器의 係數의 最適値를 決定하는 方法와 制御器의 係數와 샘플링 時間의 制御特性에 미치는 影響 등에 대해 考察하였다.

本研究에서는 디지털 制御器의 파라미터와 評價函數를 인디설 應答과의 比較, 檢討로써 다음과 같은 結論을 얻을 수가 있다.

- i) P制御器의 最適 파라미터  $\hat{K}_P$ 와 PD制御器의 最適 파라미터  $\hat{K}_P$ 와  $\hat{T}_D$ 는 本研究에서 提案한 評價函數를 利用하면 容易하게 決定할 수 있다.
- ii) 最適 파라미터  $\hat{K}_P$  및  $\hat{T}_D$ 를 使用해서 應答計算을 해 본 結果 P制御기는 샘플링 時間이 8 以上에 서 良好한 應答을 나타냈고, PD制御기는 本研究에서 紋明한 샘플링 時間의 全範圍에서 다른 制御器들 보다 良好한 것으로 證明되었다.
- iii) P制御에서 샘플링 時間 0.01 未滿일 때 심한 振動現象을 보이며, 샘플링 時間이 커짐에 따라 오비슈트가 減少하고, 인디설 應答의 最大値를 나타내는 샘플링 數는 1에 가까워졌다.
- iv) PD制御에서는 샘플링 時間이 커짐에 따라 오비슈트가 減少하지는 않았으나, 인디설 應答의 最大値는 나타내는 샘플링 數는 1에 가까워졌다.
- v) 대도비트型 制御기는 샘플링 時間이 0.5 以下에서, 미나멜프로토型 制御기는 샘플링 時間이 1에 서 8 까지의 範圍에서 良好하고, 이 두 制御器에서 制御對象의 利得과 時定數를 1로 하였을 때 샘플링 時間 ( $T$ )이 制御對象의 時定數 ( $T_C$ )의 약 4 倍 以上이 되면, 이 두 制御器를 다음 式과 같이 表現할 수 있다.

$$D(z) = -\frac{1}{T + z^{-1}}$$

여기서 PID制御器에 대해서는 앞으로 補充해야 될 것으로 생각된다.

## 6. 結 論

以上과 같이 2 次系統을 制御對象으로 하는 디지털 파이드백 制御系統에 있어서 P 및 PI制御, 대도비트法, 그리고 미니멀프로토타입法을 利用하여 偏差自乘積分을 評價函數로 定義하고, P 및 PD制御器의 係數의 最適值를 決定하는 方法과 制御器의 係數와 샘플링 時間이 制御特性에 미치는 影響 등에 대해 考察하였다.

本 研究에서는 디지털 制御器의 카데미터와 評價函數을 인디셜 應答과의 比較, 檢討로써 다음과 같은 結論을 얻을 수가 있다.

- i) P制御器의 最適 카데미터  $\hat{K}_p$  와 PD制御器의 最適 카데미터  $\hat{K}_p$  와  $\hat{T}_D$ 는 本研究에서 提案한 評價函數를 利用하면 容易하게 決定할 수 있다.
- ii) 最適 카데미터  $\hat{K}_p$  및  $\hat{T}_D$ 를 使用해서 應答計算을 해 본 結果 P制御器는 샘플링 時間이 8 以上에서 良好한 應答을 나타냈고, PD制御器는 本研究에서 紛明한 샘플링 時間의 全範圍에서 다른 制御器들 보다 良好한 것으로 判明되었다.
- iii) P制御에서 샘플링 時間 0.01 未滿일 때 심한 振動現象을 보이며, 샘플링 時間이 커짐에 따라 오버슈트가 減少하고, 인디셜 應答의 最大值를 나타내는 샘플링 數는 1에 가까워졌다.
- iv) PD制御에서는 샘플링 時間이 커짐에 따라 오버슈트가 減少하지는 않았으나, 인디셜 應答의 最大值는 나타내는 샘플링 數는 1에 가까워졌다.
- v) 대도비트型 制御器는 샘플링 時間이 0.5 以下에서, 미니멀프로토型 制御器는 샘플링 時間이 1에서 8 까지의 範圍에서 良好하고, 이 두 制御器에서 制御對象의 利得과 時定數를 1로 하았을 때 샘플링 時間 ( $T$ )이 制御對象의 時定數 ( $T_C$ )의 약 4 倍 以上이 되면, 이 두 制御器를 다음 式과 같이 表現할 수 있다.

$$D(z) = -\frac{1}{T + z^{-1}}$$

여기서 PID制御器에 대해서는 앞으로 補完해야 될 것으로 생각된다.

## 參 考 文 献

- 1) 河注植: 自動制御工學, 韓國海洋大學 海事圖書出版部, 釜山, pp. 110, 354~361, (1974).
- 2) James A. Cadzow, Hinrich R. Martens: Discrete-Time and Computer Control Systems, Prentice-Hall, INC., pp. 12~15, 47~53, 70~73, 76, 100~107, 136~137, 204, 216~223, 246~273, 424~443, (1970).
- 3) M. T. Jong: Methods of Discrete Signal and System analysis, McGraw-Hill Book, CO., pp. 31~43, 211 ~212, (1982).
- 4) Benjamin C. Kuo: Digital Control Systems, Holt, Rinehart and Winston, INC., pp. 468~523, (1980).
- 5) B. C. Kuo: Discrete-Time control systems, Prentice-Hall, INC., pp. 54~58, 101~108, 234, (1970).
- 6) Rolf Isermann: Digital Control Systems, Springer-Verlag Berlin Heidelberg New York, pp. 42~43, 72, 74~76, 89, 121, (1981)
- 7) 雨宮綾夫, 田口武夫 編: 數值解析と FORTRAN, 増補 2版, 丸善株式會社, pp. 324~330, (1978).
- 8) Shan S. Kuo: Computer Applications of Numerical Methods, Addison-Wesley Publishing CO., pp. 299~309 (1972).
- 9) Richard C. Dorf: Modern Control Systems, 3rd Edition, Addison-Wesley Publishing CO., pp. 421~445, (1980).
- 10) KATSUHIKO OGATA: State Space Analysis of Control Systems, Prentice-Hall, INC., pp. 396~408, (1967).
- 11) Benjamin C. KUO: Automatic Control Systems, 3rd Edition, Prentice-Hall INC., pp. 161~585, (1975).
- 12) Deshpande & Ash: Elements of Computer Process Control with advanced control applications, Instrument Society of America, pp. 112~114, 152~157, (1981).
- 13) Gene F. Franklin and J. David Powell: Digital control of Dynamic systems, Addison-Wesley Publishing company, INC., pp. 85~92, 95~127, (1980).
- 14) James A. Cadzow: Discrete-time systems, Prentice-Hall, INC., pp. 233~234, 268~272, 389~390, 401~403, (1973).